

**MAPA GEOLOGICO DE ESPAÑA  
INFORMACION COMPLEMENTARIA**

**VEGADEO  
(25) (0904)**

**FOTOGRAFIAS**

**1.976**



**IMINSA**

**-20025**

HOJA 09-04

VEGADEO

INFORMACION COMPLEMENTARIA



INVIAZIONE

ALBUM FOTOGRAFICO



IMINSA



FJ-0001. - Vista de la ría del Eo y marismas en relación con ella (qm)



FJ-0002. - Depósitos de lodo cuaternarios sedimentados en la ría del Eo  
(QM)



IMINSA



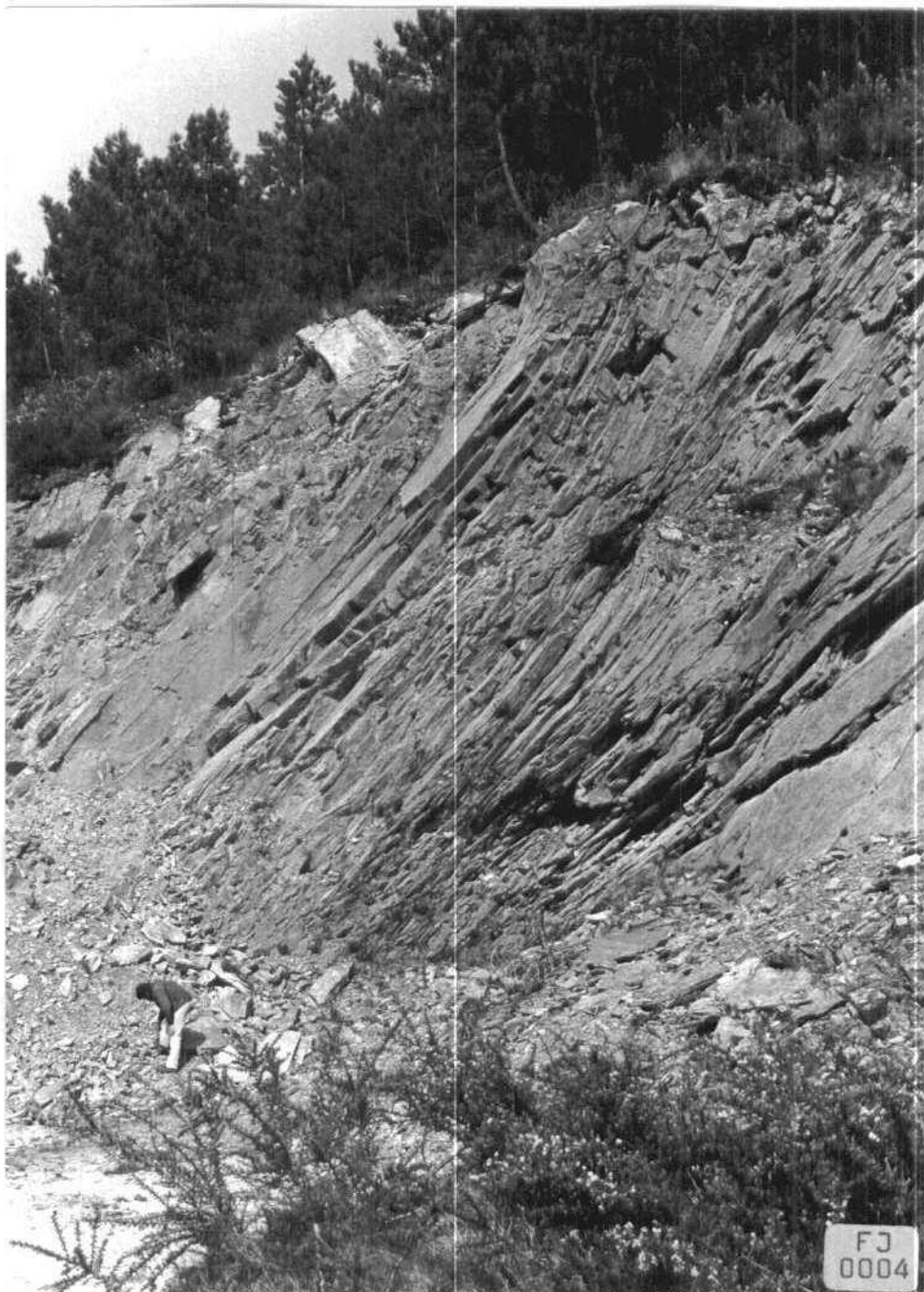
FJ-0003. - Sedimentos recientes de grano fino depositados cerca de la  
ría del Eo (QM + QA1)



IMINSA



IMINSA



FJ-0004. - Afloramiento predominantemente cuarcítico de la Serie de los Cabos en el flanco E del sinclinal de Villaodriz. (01as)



FJ-0005. - Charnela de un pliegue anticinal asociado al sinclinal de Villaodriz y desarrollado en las cuarcitas de las capas superiores del Eo (Serie de los Cabos) (01)



IMINSA



IMINSA



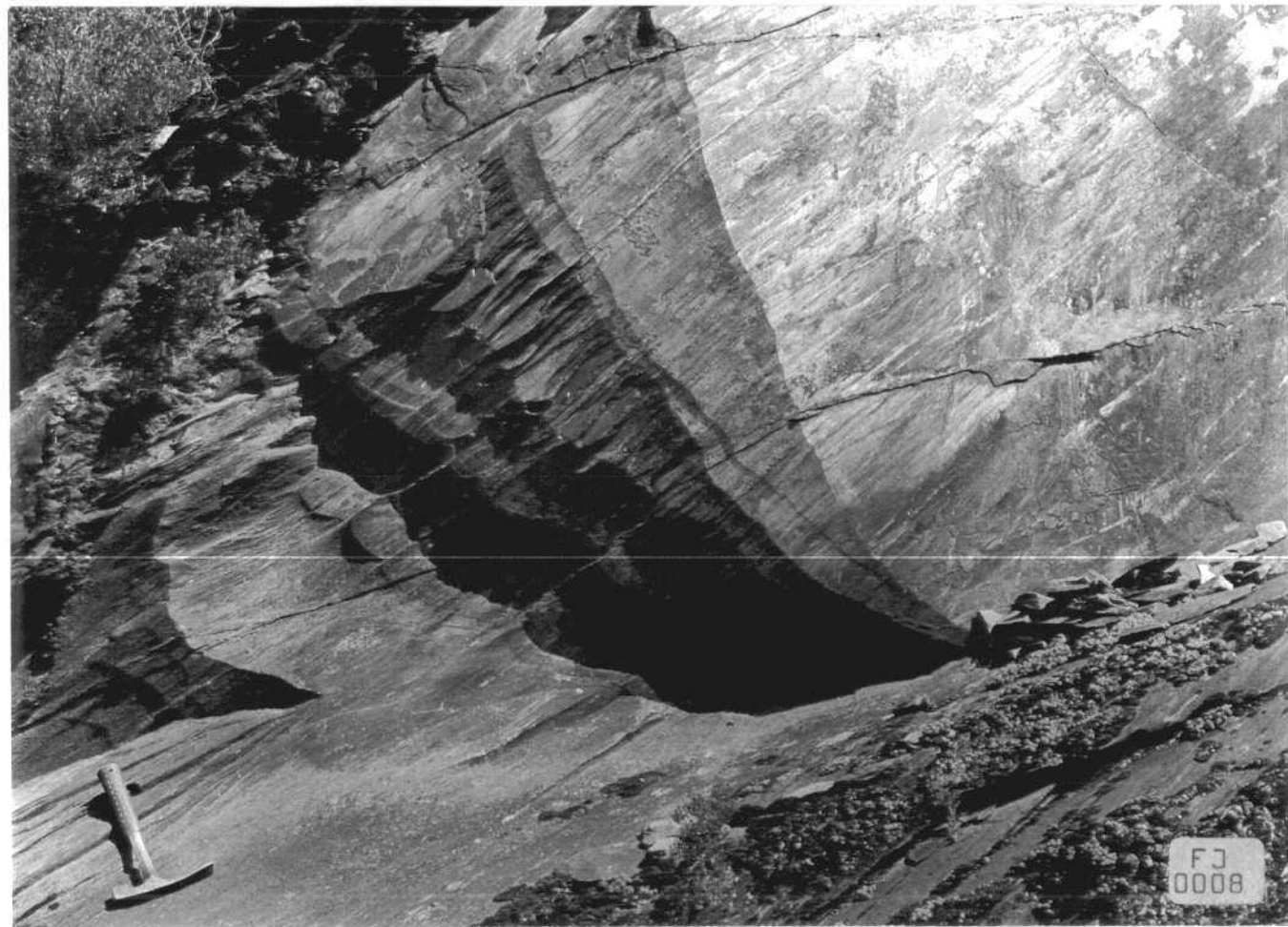
FJ-0006. - Esquistosidad de flanco inverso desarrollada en una sucesión  
esencialmente pizarrosa de la Serie de los Caños (Flanco W  
del sinclinal de Villaodriza) (CA201P)



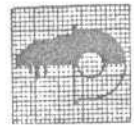
FJ-0007. - Kink-bands horizontales desarrollados en un tramo predominantemente pizarroso de la Serie de los Cabos (Flanco W del sinclinal de Villaodriz) (CA<sub>2</sub>-G<sub>1</sub>p)



IMINSA



FJ-0008. - "Rib structure" desarrollada en la superficie de una dia-  
casa (Pizarras de Luarca, sinclinal de Villaodriz) (O<sub>2</sub>)



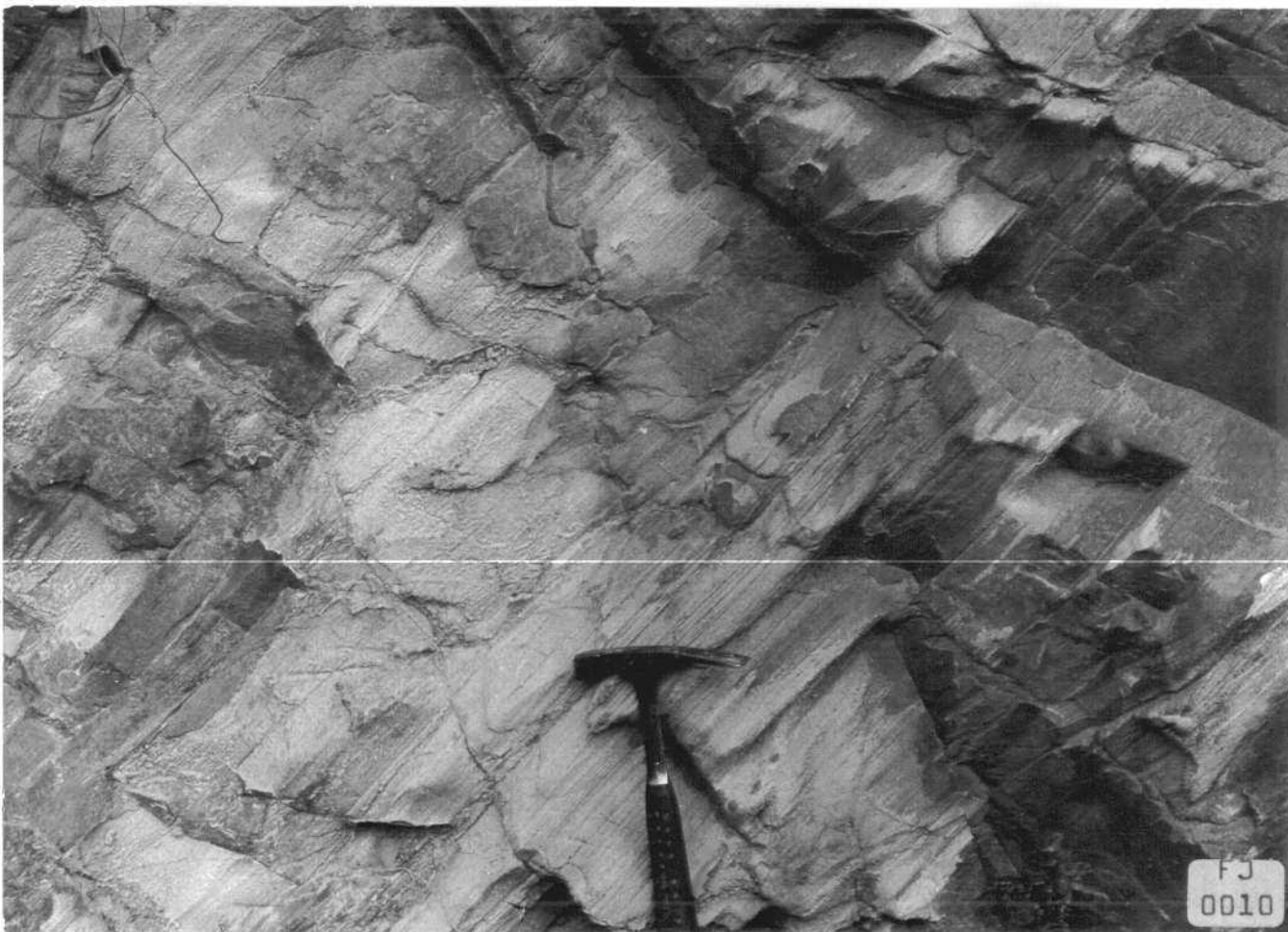
IMINSA



IMINSA



FJ-0009. - Aspecto que presenta la parte superior de la Serie de los Cabos esencialmente carbífera. Nótese la existencia de algunas estratificaciones cruzadas (Flanco W del sinclinal de Villaodriz) (O<sub>1</sub>)



FJ-0010. - Capas de Bres (Serie de los Cabos) Obsérvese la geometría tabular de las capas y la laminación paralela que estas presentan. (CA<sub>2</sub>-O<sub>1p</sub>)

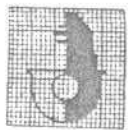


IMINSA

FJ-0011. ~ Capas de Bres (Serie de los Cabos). Puede observarse laminación paralela y cruzada de bajo ángulo (CA<sub>2</sub>-O<sub>P</sub>)



IMINSA





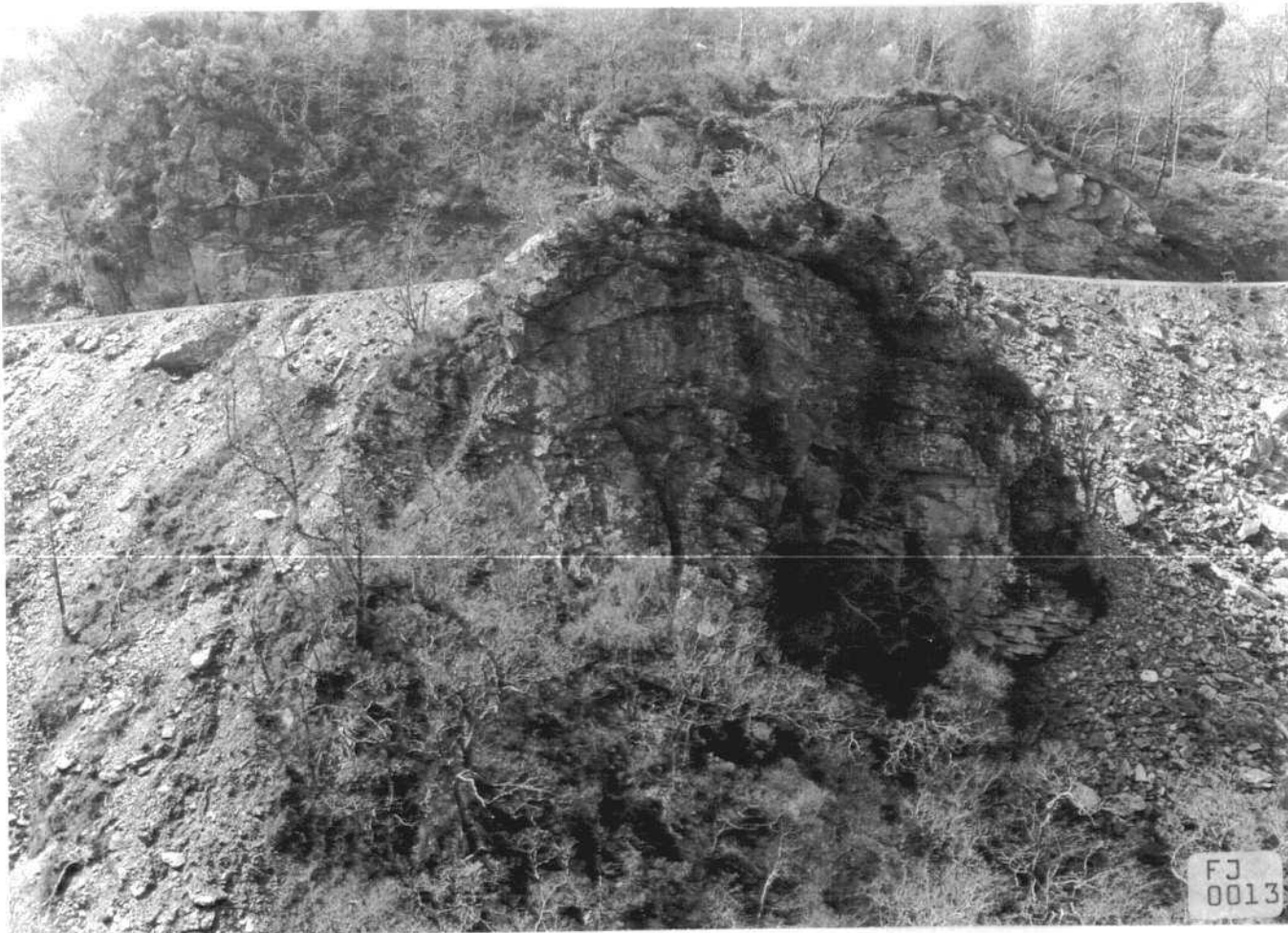
IMINSA



FJ-0012. - Capas de Bres (Serie de los Cabos). En ellas se observa claramente el desarrollo de estratificación cruzada tabular.  
(CA2-01p)



IMINSA



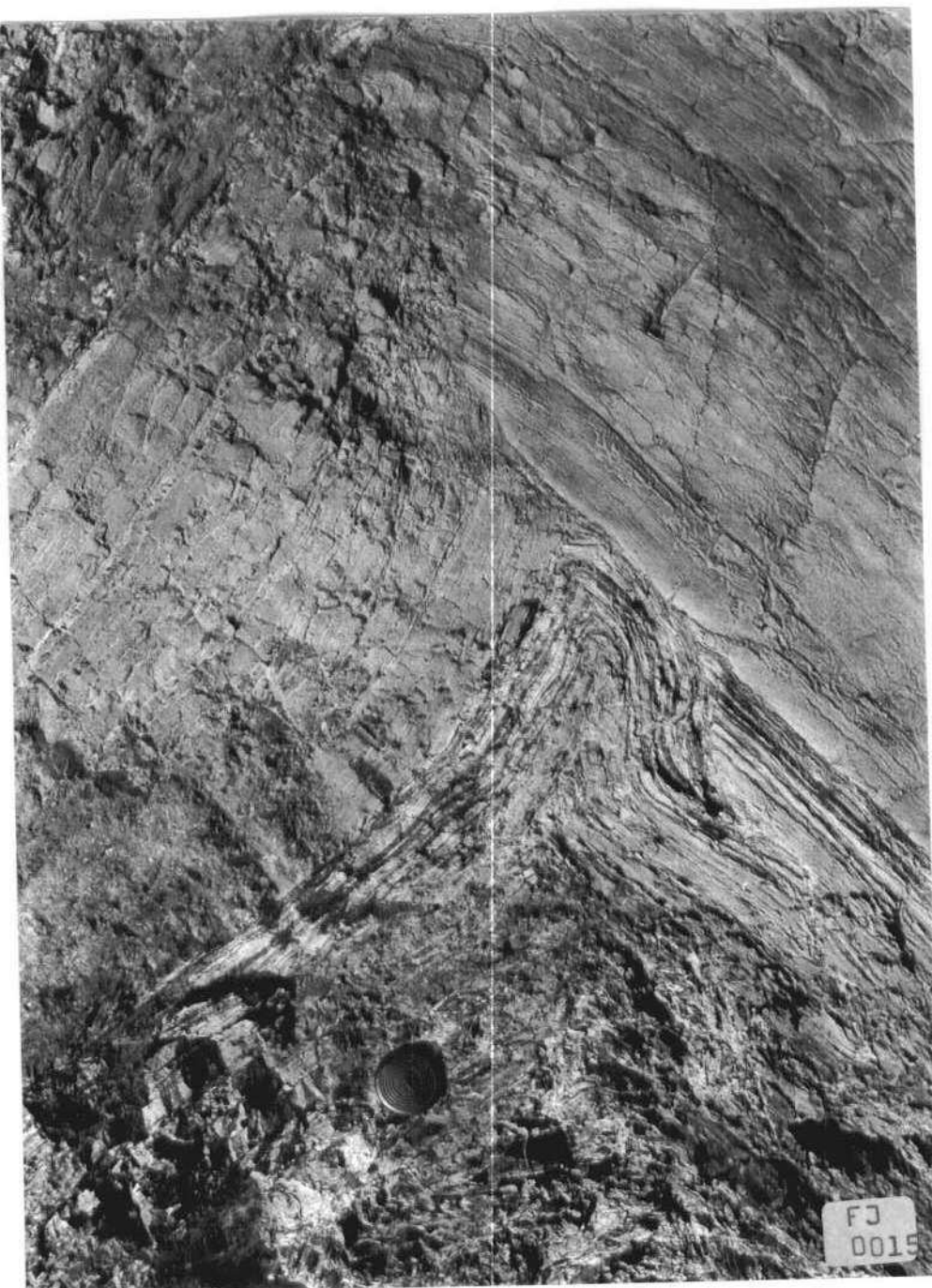
FJ-0013. - Figura de interferencia del tipo 3 de Ramsay desarrollada en la Serie de los Cabos y originada por la superposición de pliegues de la 1<sup>a</sup> y 3<sup>a</sup> fases de la deformación hercíniana (CA<sub>2</sub>-O<sub>1p</sub>)

FJ-0014. - Pequeña falla originada en la Serie de los Cabos. Asociada a ella aparece una zona de trituración (con desarrollo de "gouge") de unos 2 cm de espesor (CA<sub>2</sub>-O<sub>1p</sub>)



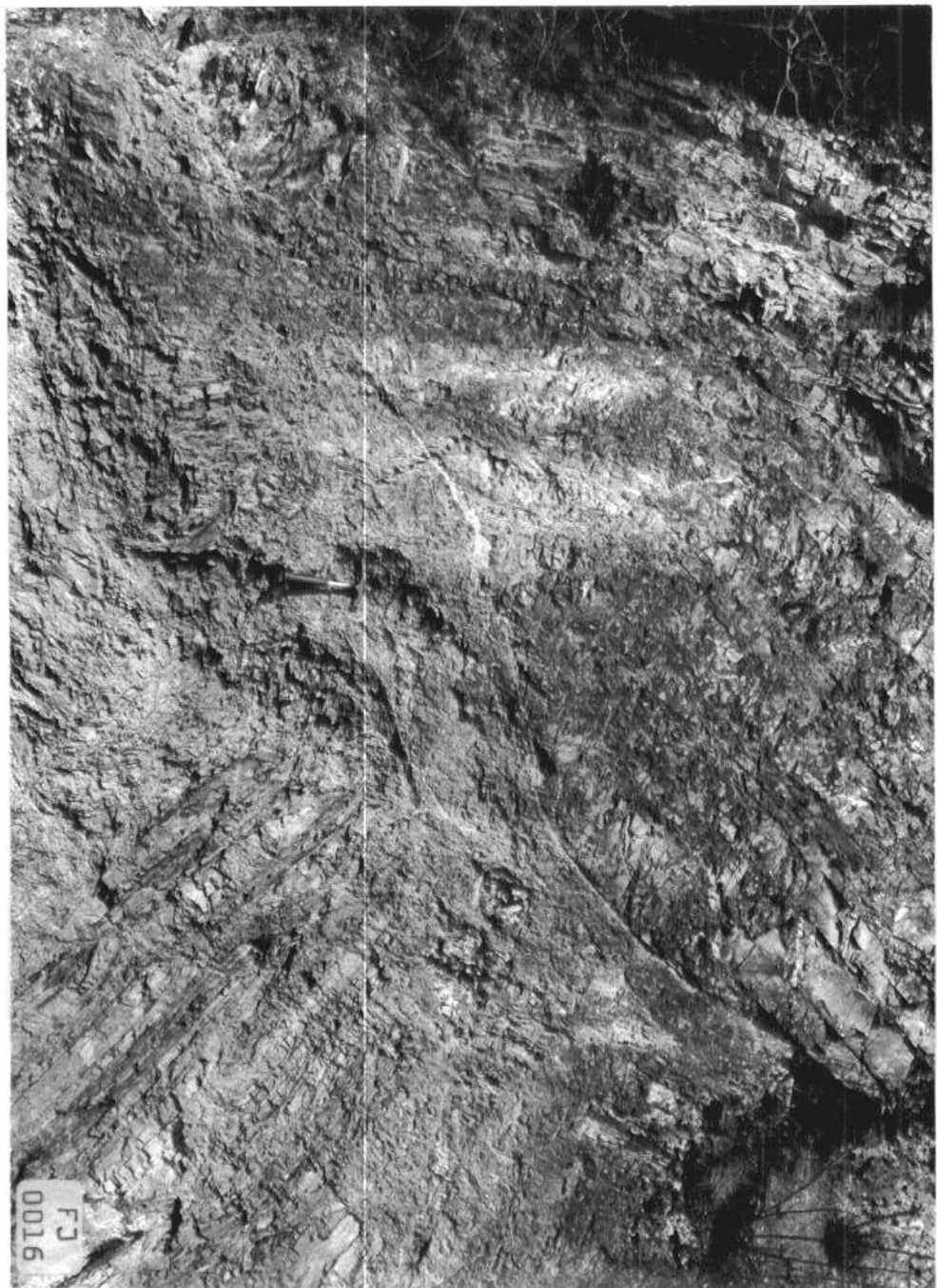


IMINSA



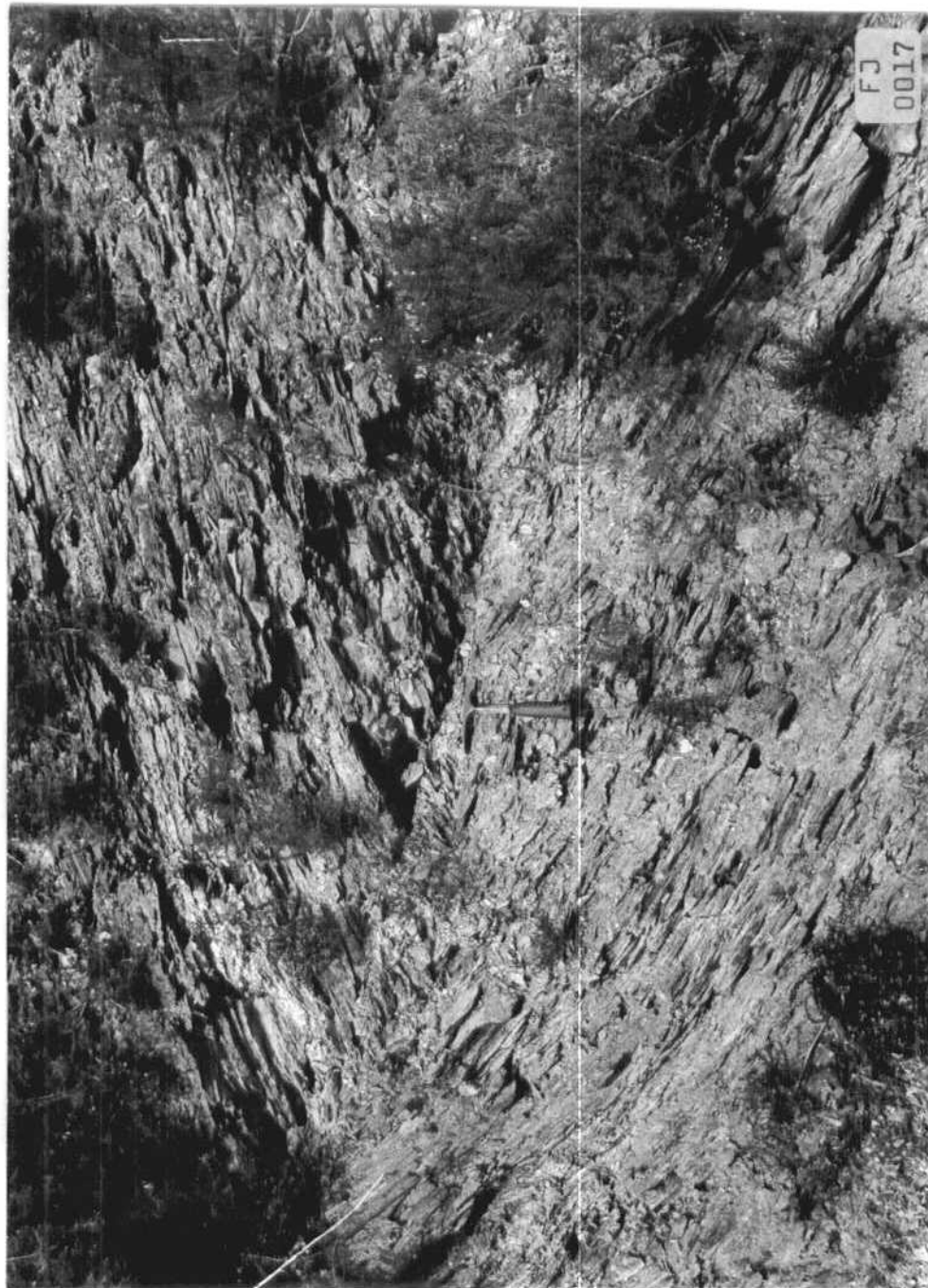
FJ-0015. - Pequeño pliegue desarrollado en la Serie de los Cabos, cuyo aspecto parece indicar un origen gravitacional del mismo (CA<sub>2</sub>-O<sub>1p</sub>)

FJ-0016. - Falla desarrollada en la Serie de los Cabos en condiciones extremadamente frágiles. Obsérvese el material de grano fino (gouge) asociado a la superficie de falla y la amplia zona de trituración en la región circundante a la misma (CA<sub>2</sub>-01p)





IMINSA



FJ-0017. - Pliogéne tipo "chevron" desarrollado en la Serie de los Cabos y debido esencialmente a la acción de la gravedad. A causa de una deformación extremadamente frágil las charnelas del pliogéne están totalmente des- truidas (CA<sub>2</sub>-01p)



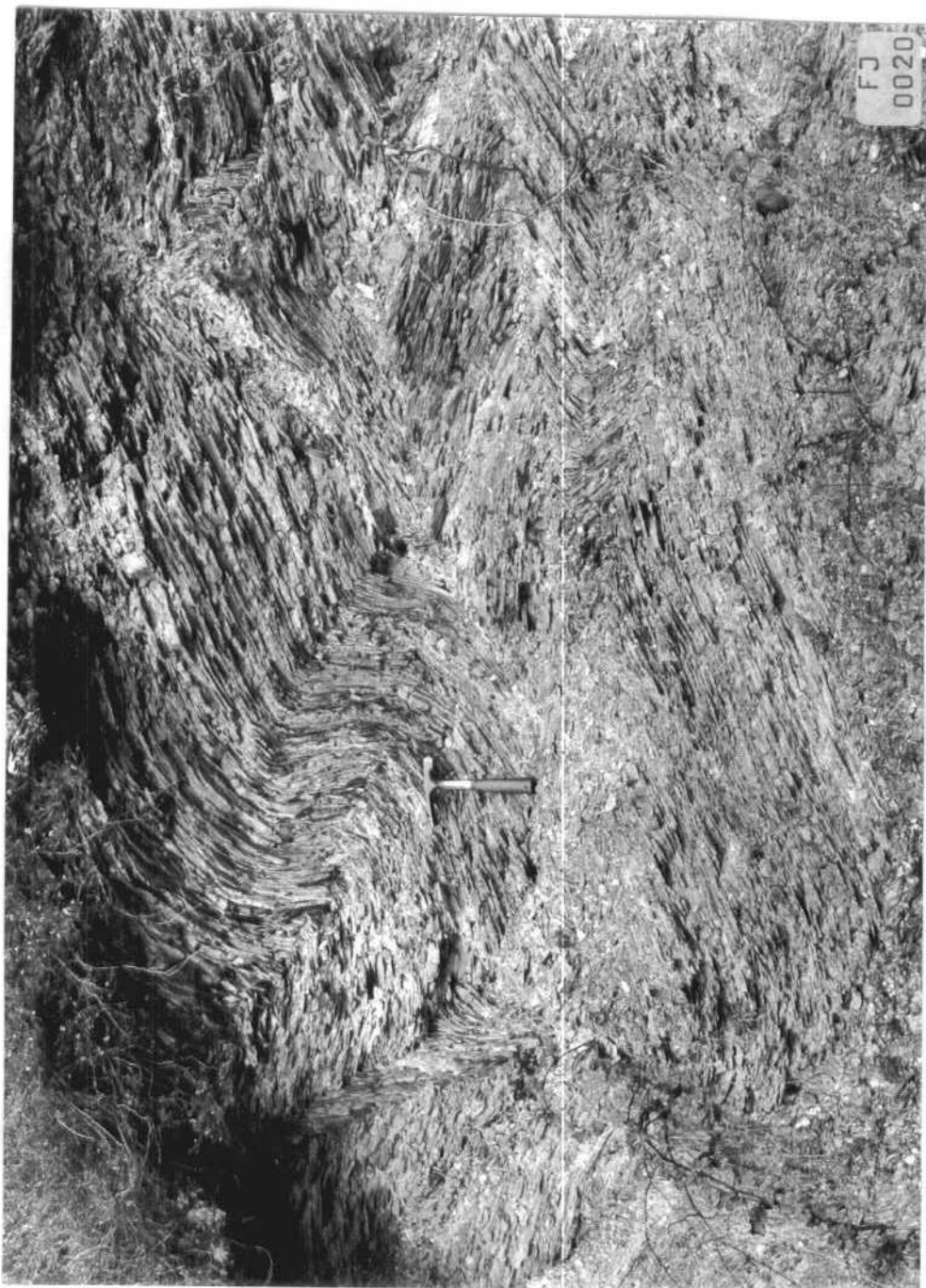
FJ-0018. - Pliegue desarrollado por gravedad en la serie de los Cabos. Obsérvese la intensa fracturación que han sufrido las capas y que se concentra esencialmente en las zonas de charnela. (CA<sub>2</sub>-01p)



IMINSA



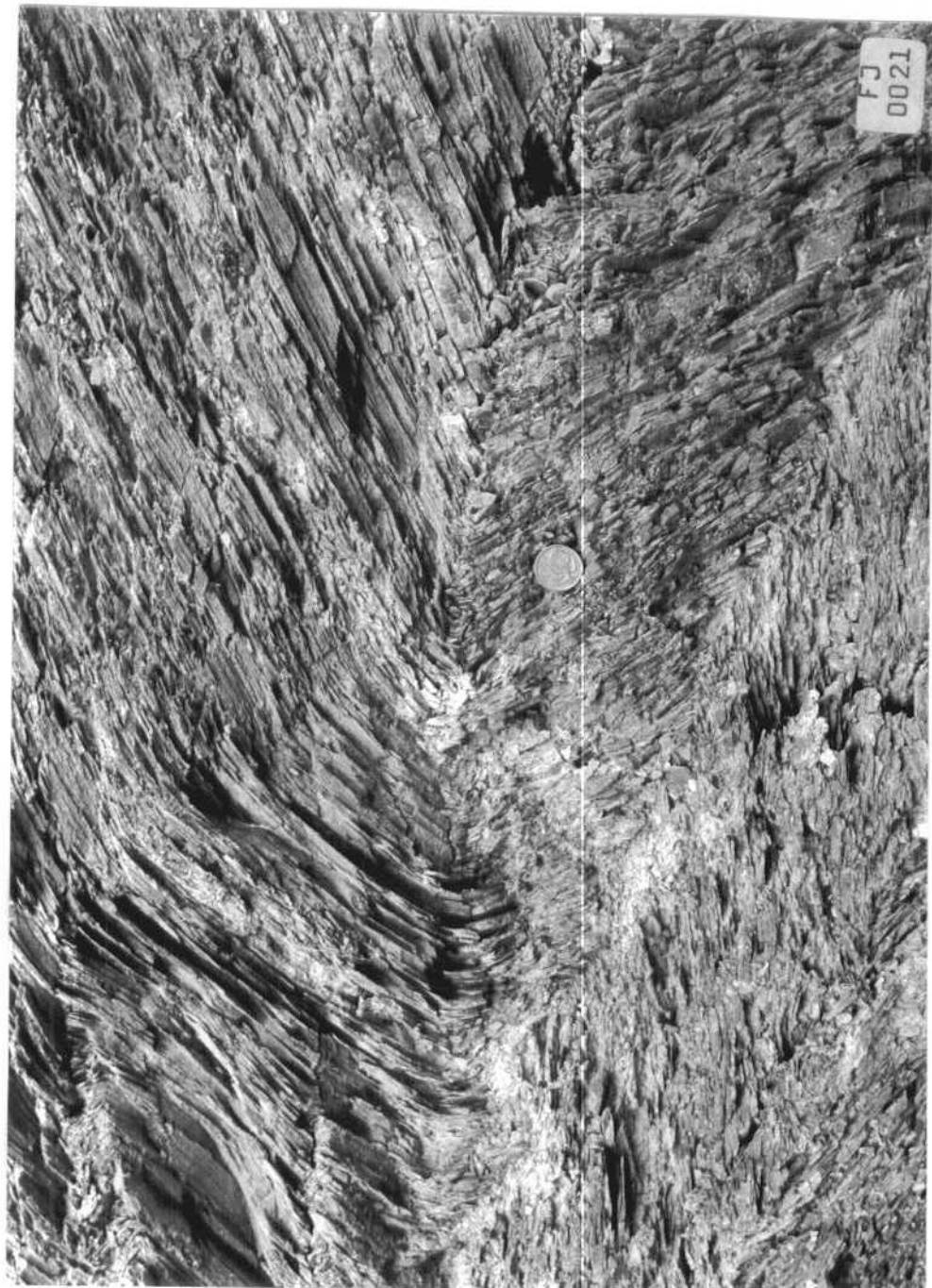
IMINSA



FJ-0020. - Pliegues desarrollados por gravedad en la Serie de los Cabos. Obsérvese el carácter disharmonico que presentan y la facturación existente en las capas (CA<sub>2</sub>-01p)



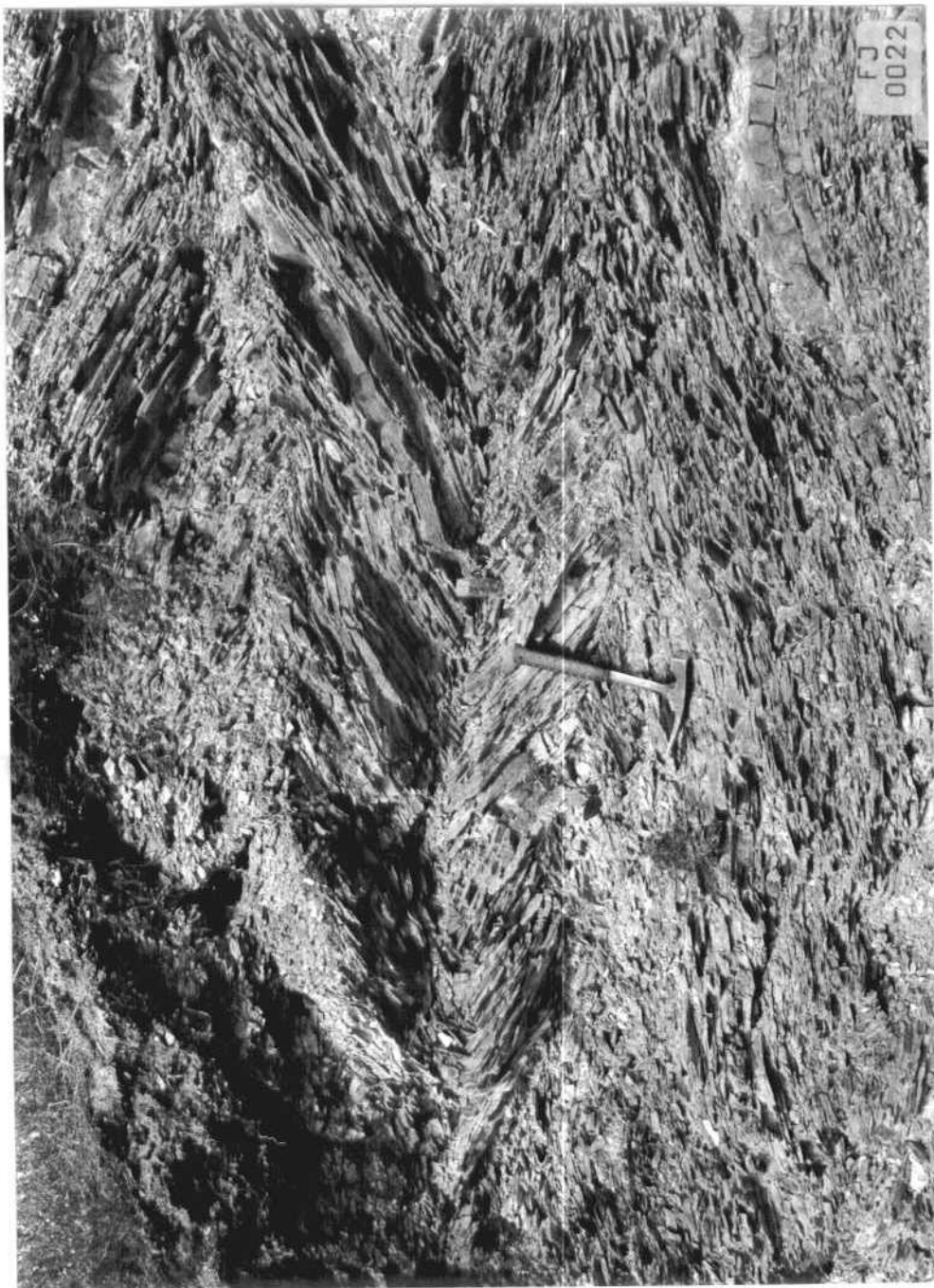
IMINSA



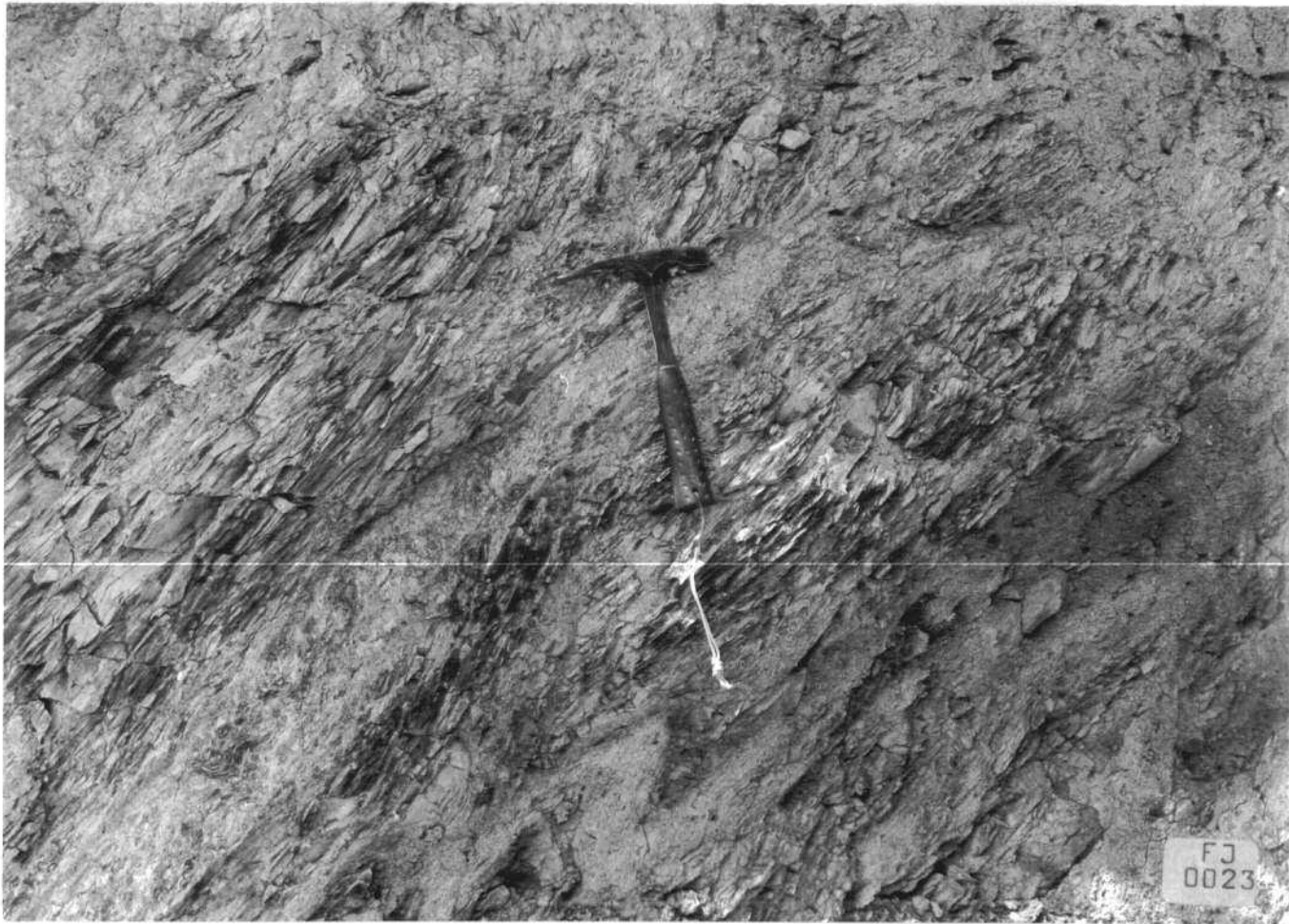
FJ-0021. - Pliegues desarrollados por gravedad en una secuencia de capas finas esencialmente arenosas de la Serie de los Cabos (CA<sub>2</sub>-0<sub>1</sub>p)



IMINSA



FJ-0022. - Pliegues de tipo "chevron" desarrollados por gravedad en la Serie de Los Cabos. Obsérvese la fracturación sufrida por las capas. (CA2-O1p)



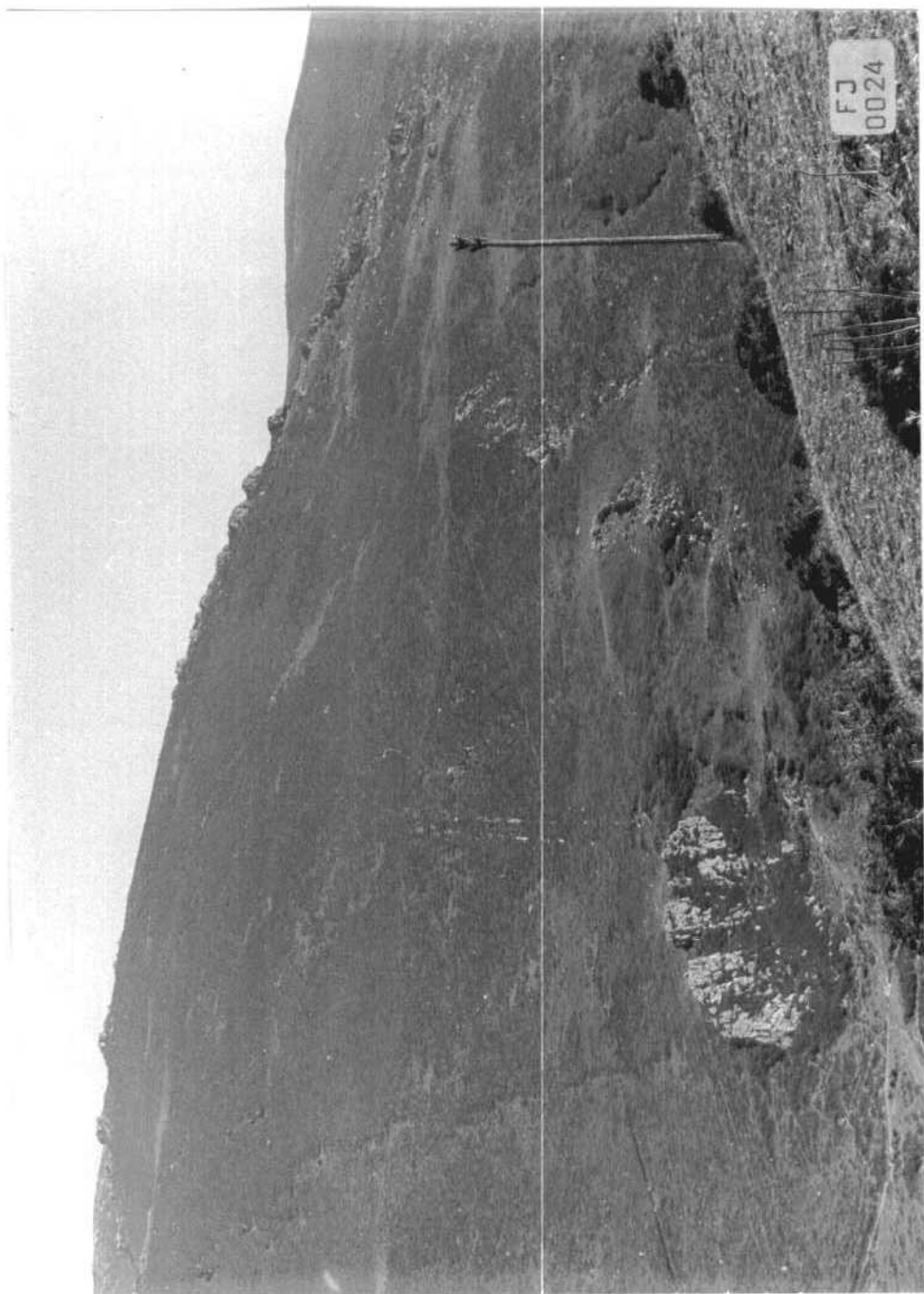
IMINSA

FJ-0023. - Aspecto que presentan las ampelíticas silúricas en el campo

~~(S<sub>1</sub><sup>1,2</sup>-S<sub>1</sub><sup>3</sup>)~~ S<sup>A-B</sup>  
1-1

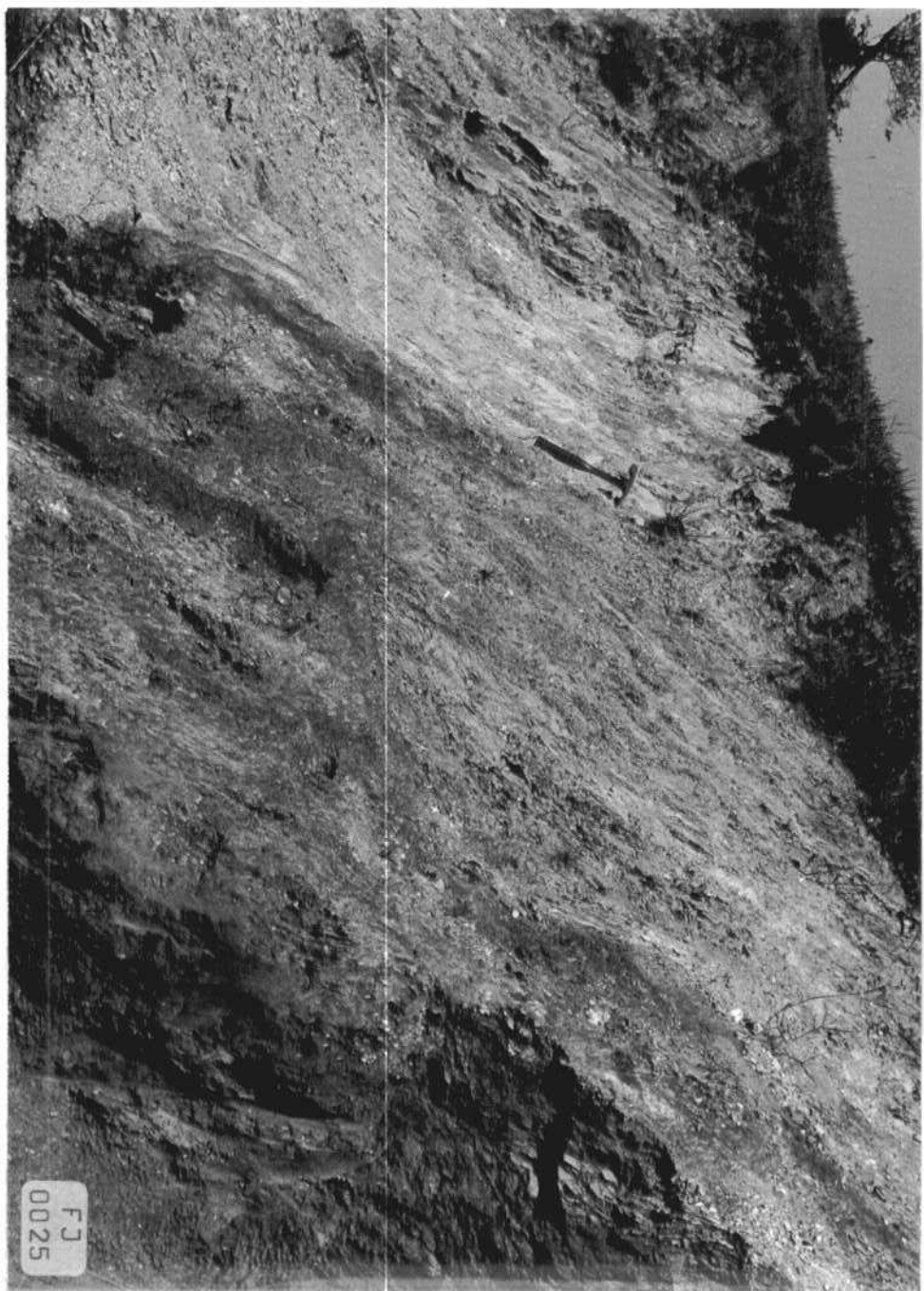


IMINSA



FJ-0024. - Vista de la cuarcita culminante de la Serie de los Cabos (01)

FJ-0025. — Aspecto que presentan en afloramiento las pizarras verdes de la parte inferior de la Serie de los Cazos (CM<sub>2</sub>)



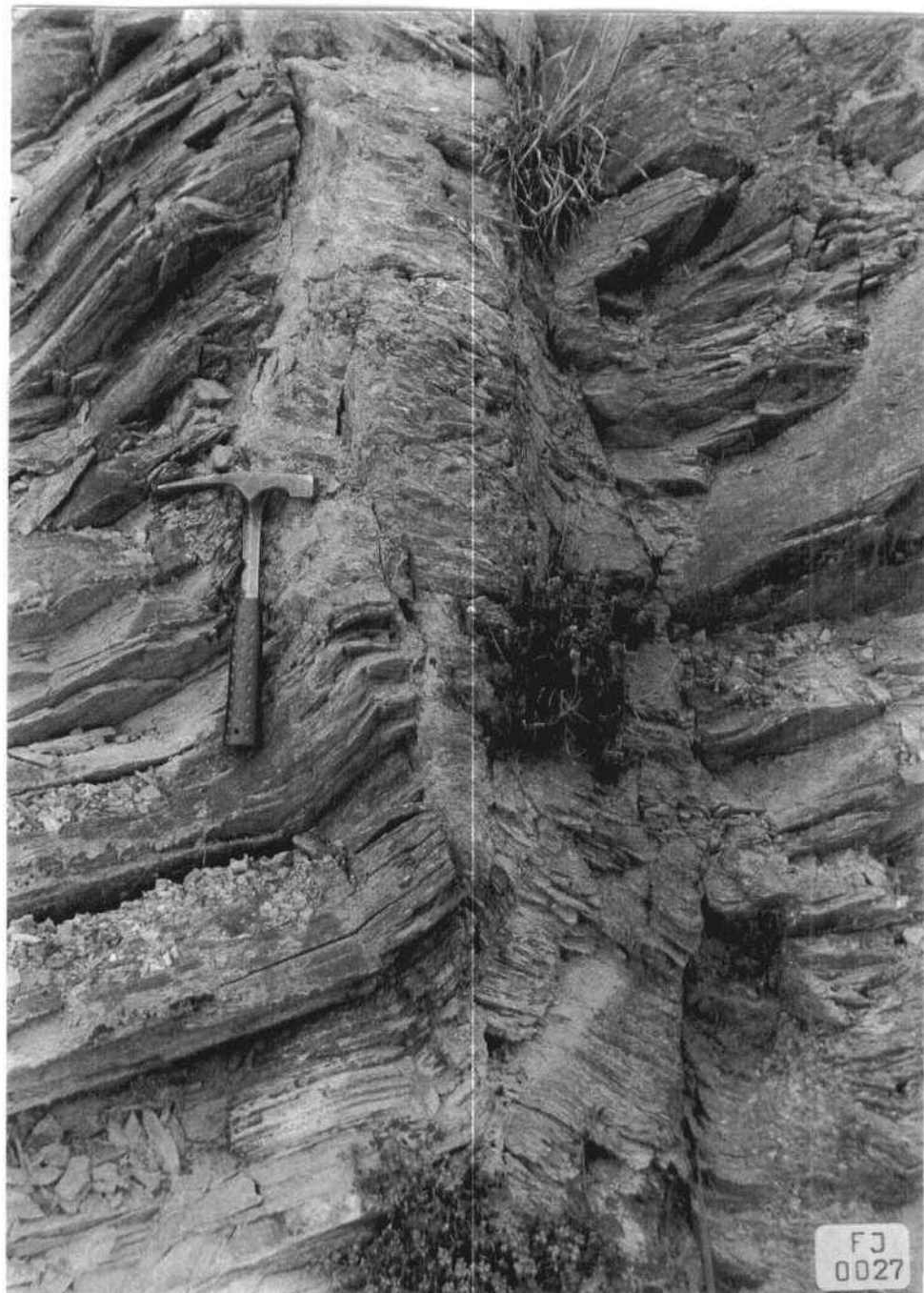


IMINSA

FJ-0026. - Esquistosidad de flanco normal en el flanco W del anticlinal de  
San Martín-La Caridad (Serie de los Cabos) (CA<sub>2</sub>-O<sub>1p</sub>)



IMINSA



FJ-0027. - Estructura tipo "kink fold" tardía y en posición transversal respecto a las estructuras mayores hercinianas (Serie de los Cabos) (CA<sub>2</sub>-O<sub>1p</sub>)



IMINSA



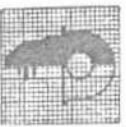
FJ-0028. - Diaclasas transversales desarrolladas en capas de areniscas  
en la Serie de los Cabos (CA<sub>2</sub>-0<sub>1</sub>p)



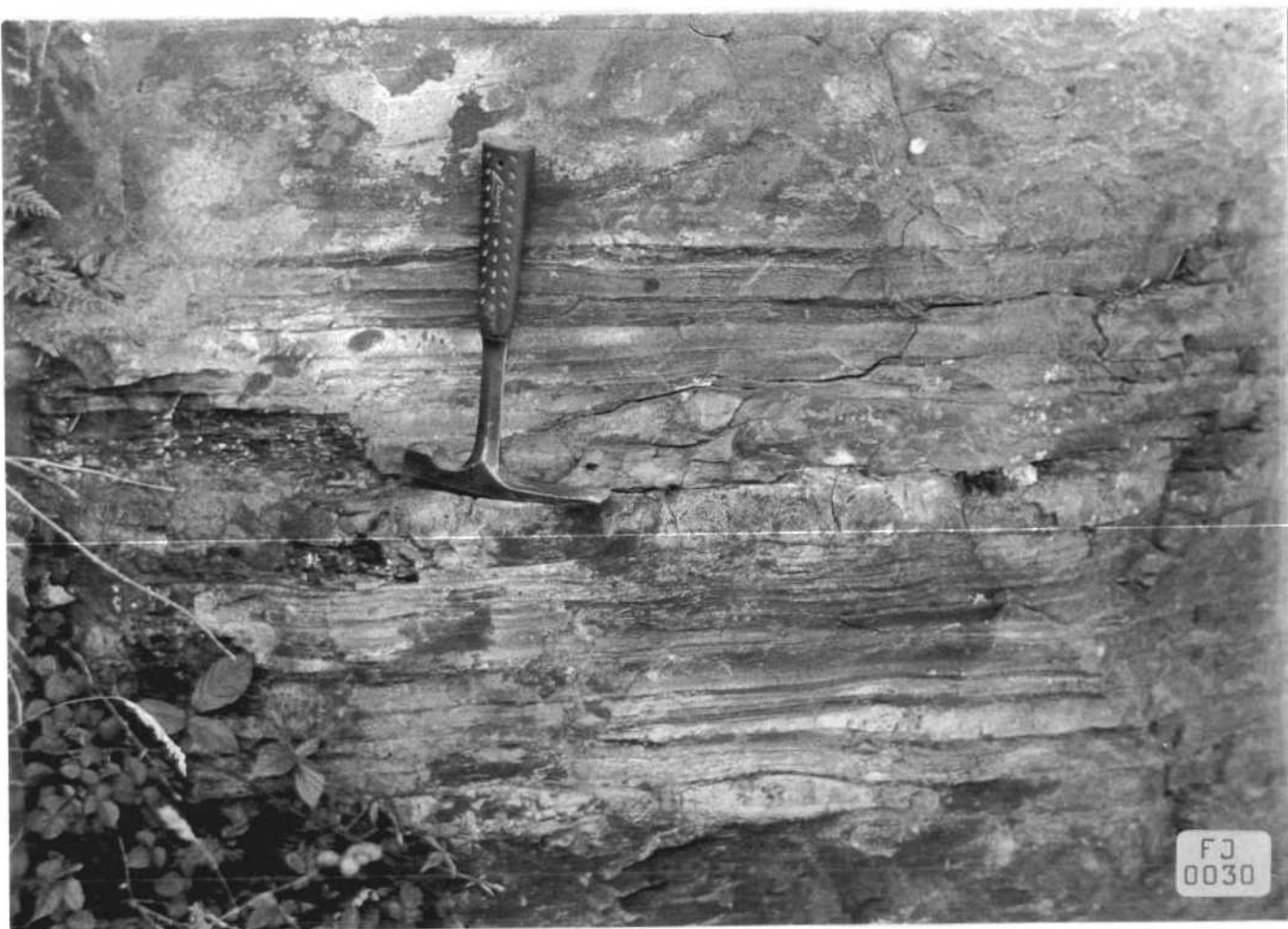
FJ-0029. - Aspecto que presenta en el campo un tramo pizarroso de la Serie de los Cabos. Obsérvese la existencia y frecuencia de diaclasas transversales (CA<sub>2</sub>-01p)



IMINSA



IMINSA



FJ-0030. - Laminación paralela desarrollada en la Serie de los Cabos. Obsérvese además en la parte inferior de la fotografía el existencia de "boudins" (CA<sub>2</sub>-O<sub>1</sub>p)



FJ-0031. - Diaclasas transversales en un afloramiento esencialmente cuar-  
cítico de la Serie de los Cabos. Como puede observarse, la  
frecuencia de diaclasas es del orden de uno o dos ejemplares  
por metro (CA<sub>2</sub>-01p)



IMINSA

FJ-0032. - Frecuencia de diaclasas en un tramo principalmente pizarroso de la Serie de los Cabos. Se observan unos diez ejemplares por metro.  
(CA2-01P)

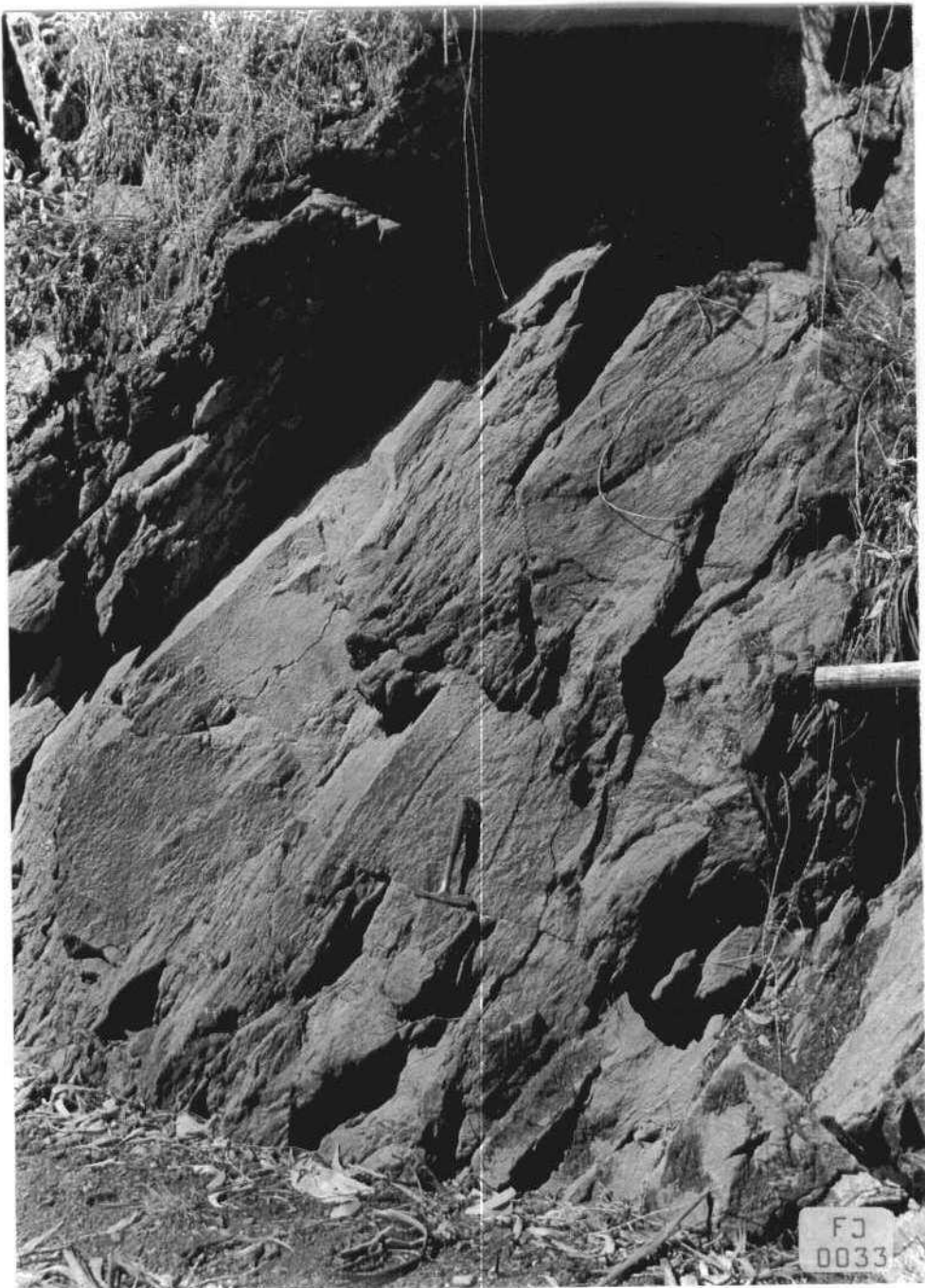


IMINSA





IMINSA



FJ-0033. - Diabasa intercalada en la parte superior de la Serie de los Cabos. Obsérvese como se encuentra afectada por una foliación que corresponde a la 1<sup>a</sup> fase de deformación herciniana (E<sup>2</sup>)



IMINSA



FJ-0034. - Aspecto que presenta en afloramiento la cuarcita culminante de la Serie de los Cabos en el flanco occidental del sinclinal de Villaodriz. (01)



IMINSA

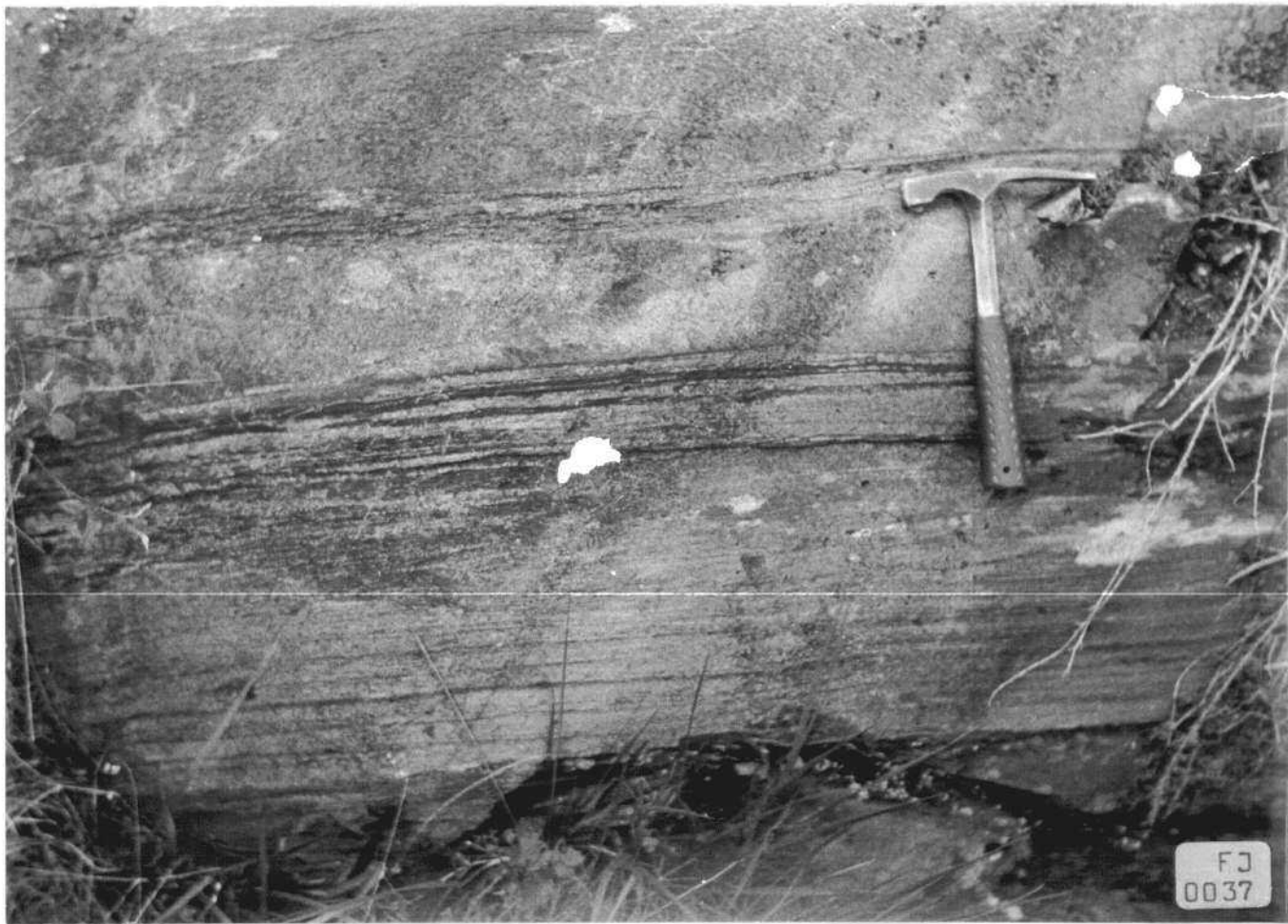
FJ-0035. - Aspecto de la parte pizarrosa superior de las capas de Taramundi.  
Obsérvese las superficies de diaclasas perpendiculares a la es-  
quistosidad (CA<sub>2</sub>-01p)



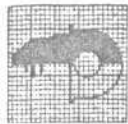
FJ-0036. - Parte inferior de las capas de Taramundi en las que se observan laminaciones de areniscas intercaladas en las pizarras (CA<sub>2</sub>-O<sub>1p</sub>)



IMINSA



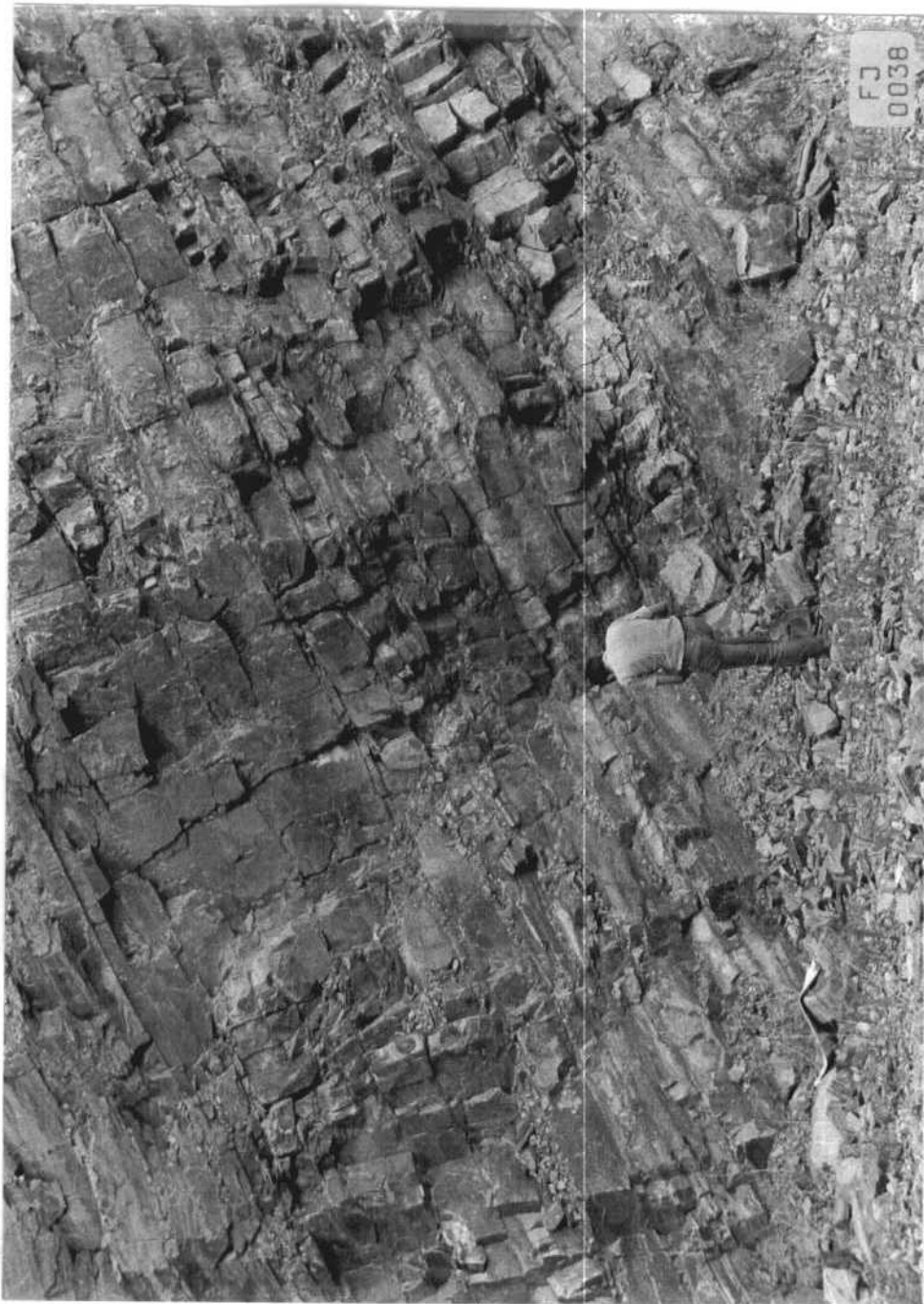
FJ-0037. - Parte superior de la Serie de los Cabos en el flanco occidental del anticlinal de San Martín-La Caridad (CA<sub>2</sub>-O<sub>1p</sub>)



IMNSA



IMINSA



EJ-0038. - Parte inferior de las capas de Bres. Obsérvese el carácter plenamente dominante de las areniscas sobre las pizarras y la geometría tabular de las capas (CA<sub>2</sub>-0<sub>1</sub>p)



IMINSA



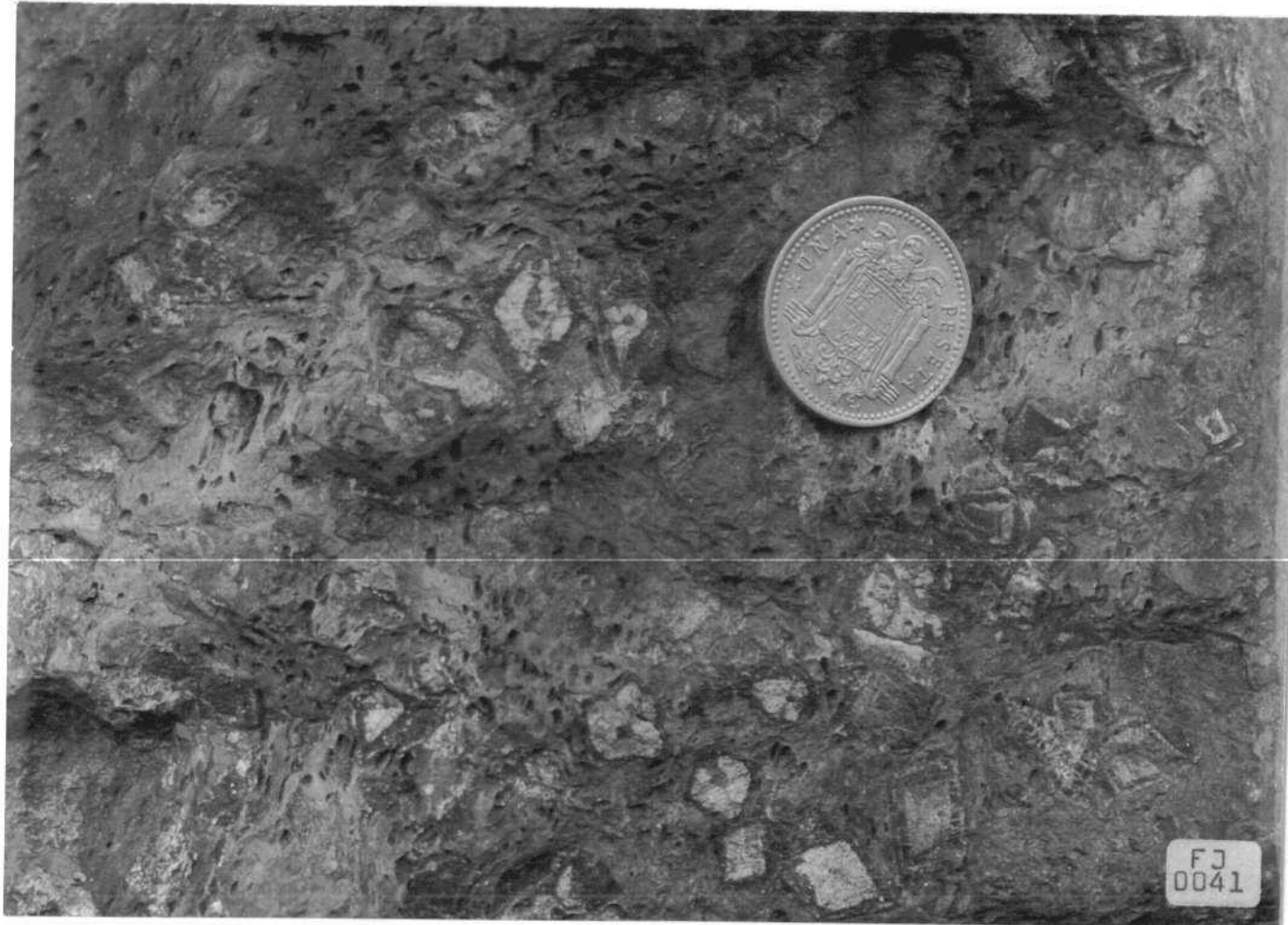
FJ-0039. - Capas inferiores del Eo esencialmente cuarcíticas  
(O<sub>1</sub>as)



FJ-0040. - "Augen structures" desarrollados en una superficie de diaclasas (Serie de los Cabos) (CA<sub>2</sub>-O<sub>1</sub>p)



IMINSA

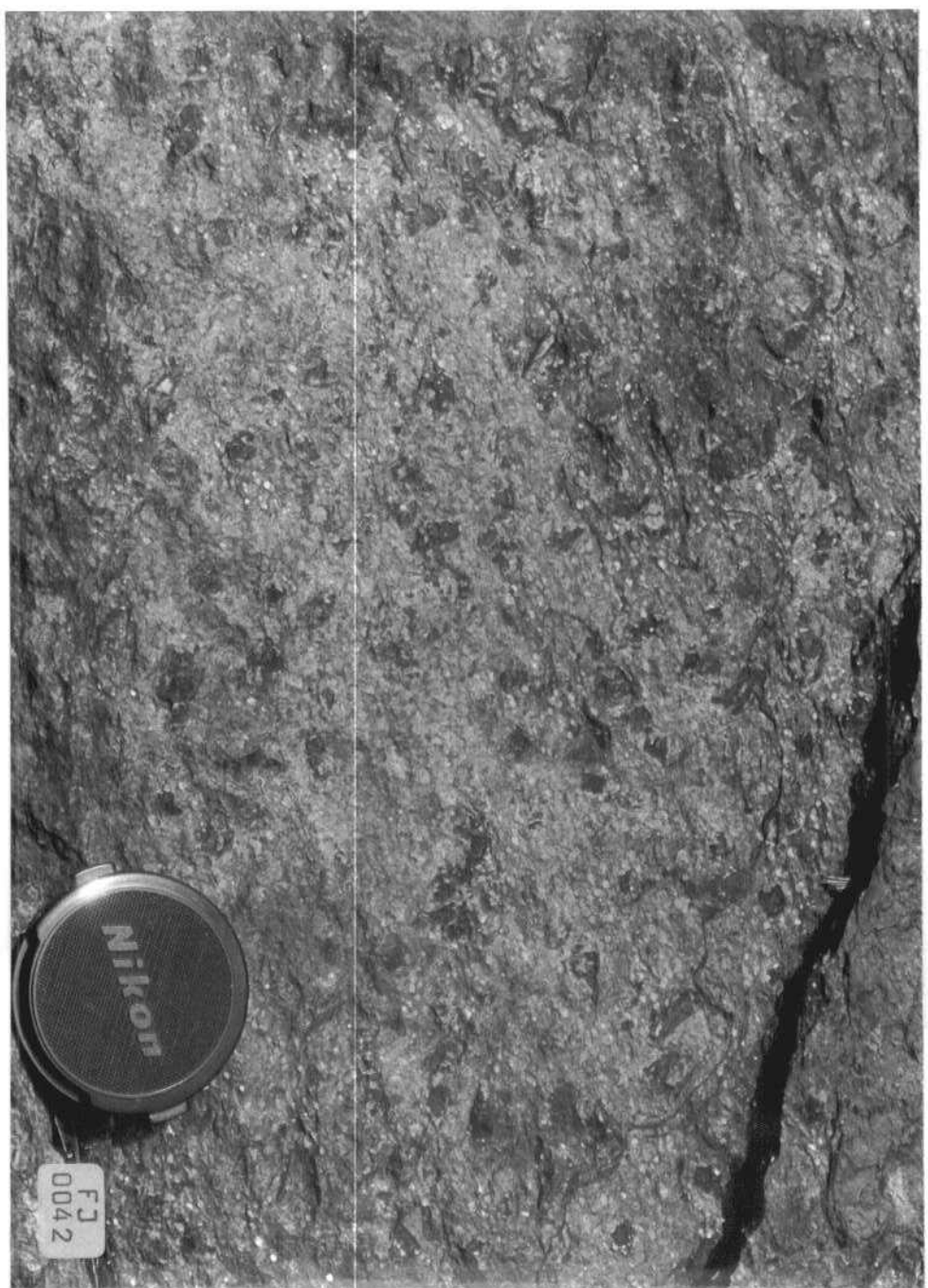


FJ-0041. - Metamorfismo de contacto en torno a los granitos de El Pato y Boal.  
Son perfectamente visibles los blastos de quiastolita con la típica  
macla en cruz.



IMINSA

FJ-0042. - Pizarras mosqueadas en la aureola de metamorfismo de contacto de los granitos de El Pato y Boal.



IMINSA





IMINSA

-20025



FJ-0043. - Kink bands subhorizontales en las pizarras de Luarca. Nótese el espaciado prácticamente regular de las bandas de kink.